

# Sistema de transmisión segura punto a punto y multipunto en medios compartidos.

Alfredo Adrián Ortega  
Instituto Tecnológico de Buenos Aires (ITBA)  
aortega@alu.itba.edu.ar

24 de noviembre de 2015



# Contenido

Introducción

Estado del Arte

Sistema propuesto

Metodología

- Canal Z

- Time hopping

- Filtro de Bloom

- K Óptimo

- Minimización de peso de Hamming

Implementación y mediciones

- Fibra Óptica

- Medio acústico

Conclusión

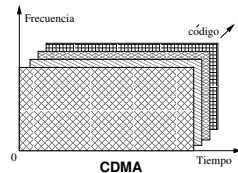
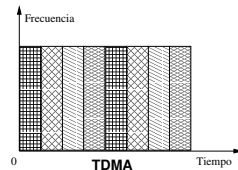
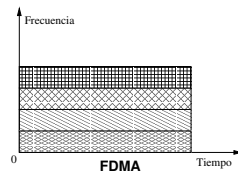


# Problemas a resolver

- ▶ Privacidad de datos en una red que utiliza un medio compartido
- ▶ Protección ante nodos maliciosos
- ▶ Eliminar toda fuga de información

# Solucion propuesta

1. Utilizar CDMA para la separación en canales
2. Desarrollar algoritmos criptográficamente seguros para la privacidad



## Desafíos

1. Sistema capaz de operar a 5 Gbps+
2. Evitar protocolos de control que debiliten la criptografía
3. Aislación completa de canales de comunicación, para evitar ataques del tipo side-channel.
4. Alta performance y bajo costo

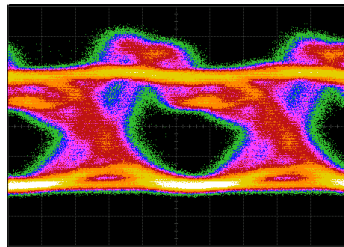
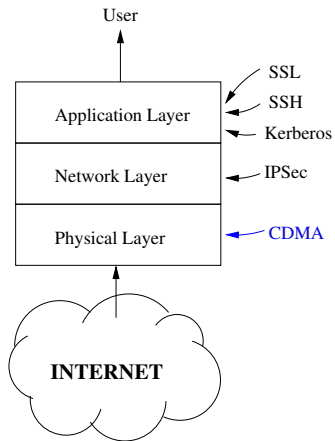


Figura : Diagramas de ojo, tasa de 7,5 Gbps, 20ns por división.

# Seguridad en las capas de red



- ▶ SSH
- ▶ SSL
- ▶ Kerberos

Modelo de red OSI simplificado











# Sistema propuesto

## Basado en:

**Time-hopping CDMA:** El tiempo de transmisión se selecciona mediante un algoritmo generador de números pseudoaleatorios (**PRBS**).

**Filtro de Bloom:** Provee **corrección de errores** asimétrica (en un canal Z)

**Minimización de peso de Hamming:** **reducción** de símbolos problemáticos en el canal Z

# Sistema propuesto

## Basado en:

**Time-hopping CDMA:** El tiempo de transmisión se selecciona mediante un algoritmo generador de números pseudoaleatorios (**PRBS**).

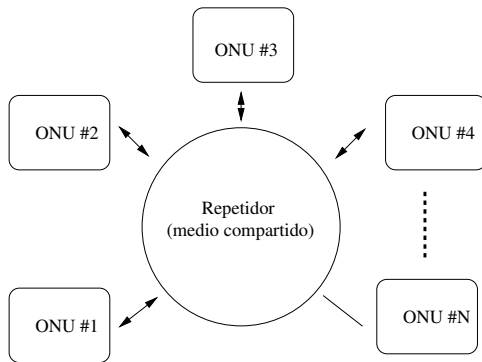
**Filtro de Bloom:** Provee **corrección de errores** asimétrica (en un canal Z)

**Minimización de peso de Hamming:** **reducción** de símbolos problemáticos en el canal Z

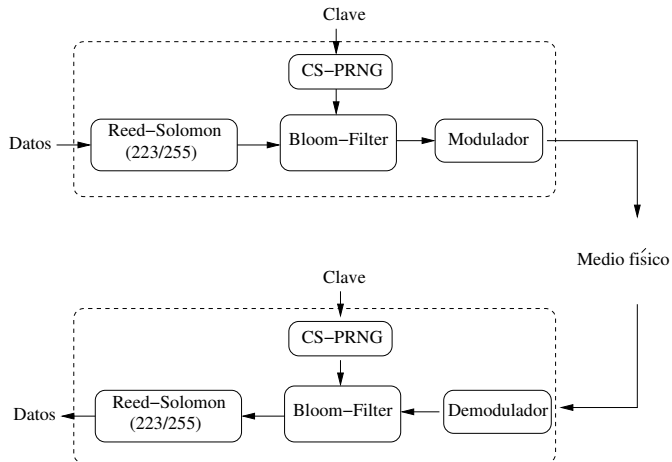
## Ventajas:

- ▶ Punto-a-punto y Punto-a-Multipunto
- ▶ Privacidad

## Sistema propuesto: diseño de alto nivel



## Sistema propuesto: diagrama esquemático



## Canal Z

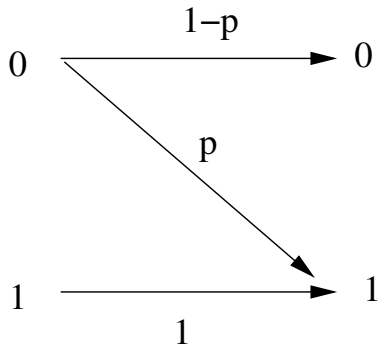
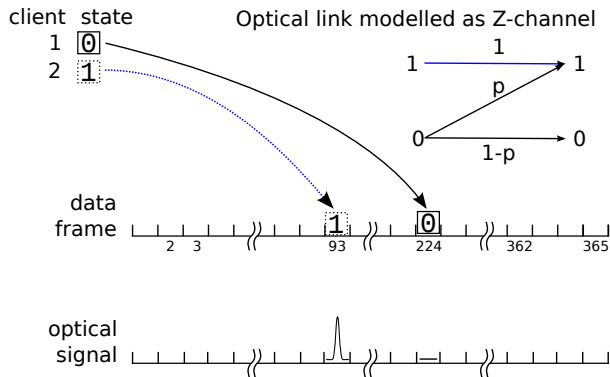


Figura : Diagrama de probabilidad del un canal binario asimétrico o canal Z

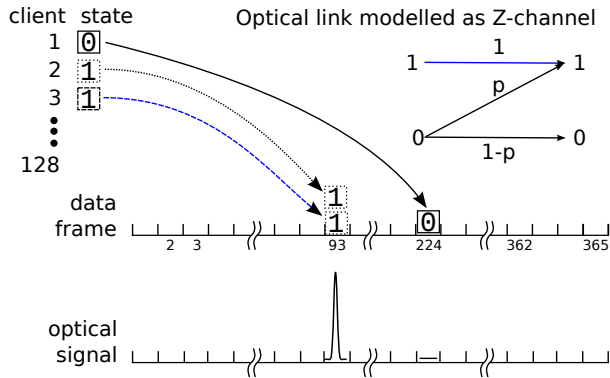


## Selección de casillero aleatoria: Time hopping



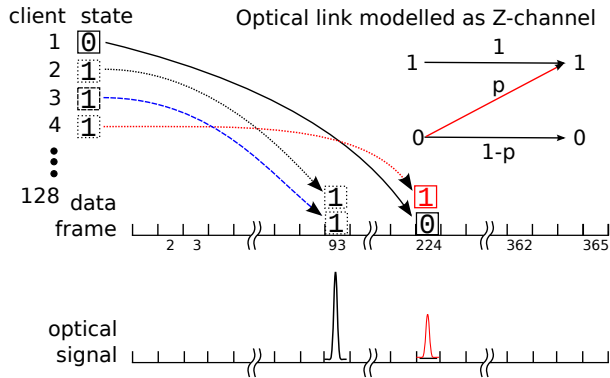
No hay colisión

## Selección de casillero aleatoria: Time hopping



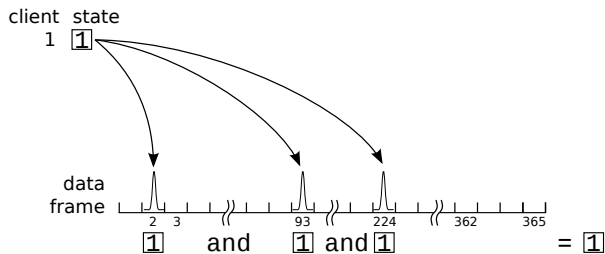
Colisión  $\Rightarrow$  Resultado OK

# Selección de casillero aleatoria: Time hopping



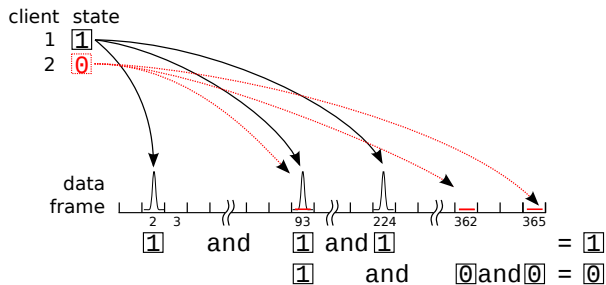
Colisión  $\Rightarrow$  Error

## CDMA + Filtro de Bloom (K=3)



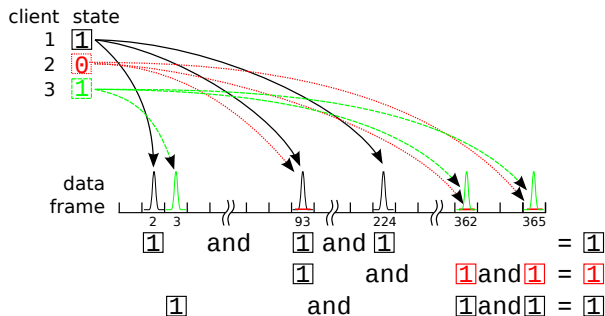
Inserta el bit '1' en la trama

## CDMA + Bloom filter (K=3)



Inserta el bit '0' en la trama

## CDMA + Bloom filter (K=3)



Inserta el bit '1' en la trama  $\Rightarrow$  Error

## K Óptimo

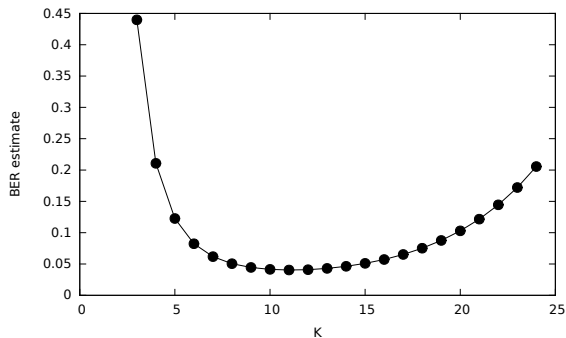


Figura : Estimación de BER vs. tasa de repetición de filtro de Bloom K.

$$\text{BER} \approx \frac{n}{2} m_0 z_{\bar{R}, \bar{S}} \approx \frac{n}{2} m_0 \left(1 - e^{-W_1/M}\right)^K. \quad (1)$$

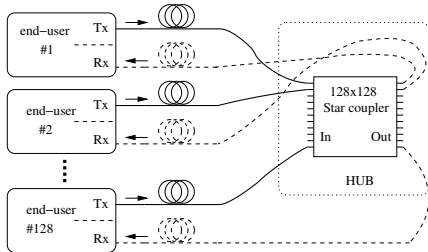
# Minimización de peso de Hamming

Símbolo de 3-bits, Peso de Hamming=2, expansión a 5 bits

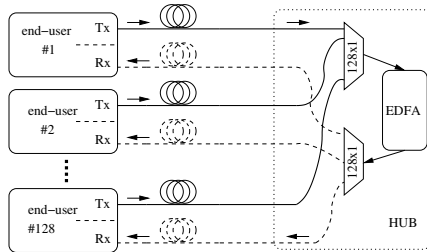
Dato	Entrada, HW=variable	Expansión HW=2
0	000	00011
1	001	00110
2	010	00101
3	011	01100
4	100	01010
5	101	01001
6	110	10001
7	111	10010



# Implementación: Fibra Óptica



(a) Distribución via acoplador tipo estrella 1

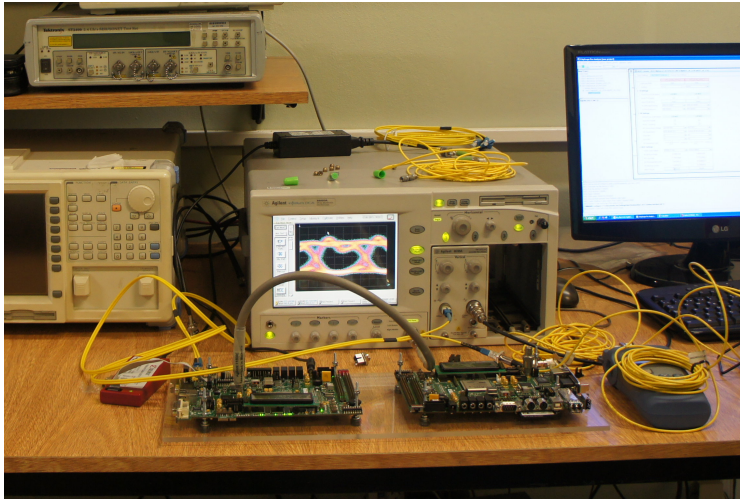


(b) Distribución via EDFA

Figura : Diseño de red propuesto para la capa óptica

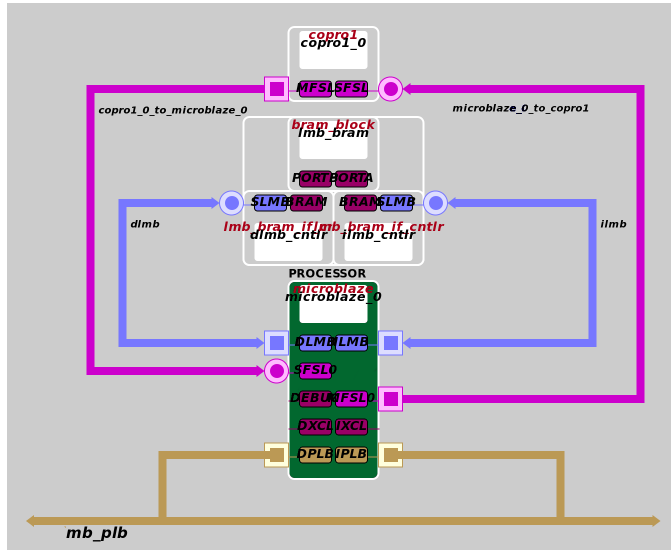
# Implementación: Fibra Óptica

Placas de desarrollo Xilinx ML507





# Implementación: Fibra Óptica, FPGA



# Implementación: Fibra Óptica, Resultados (Simulaciones)

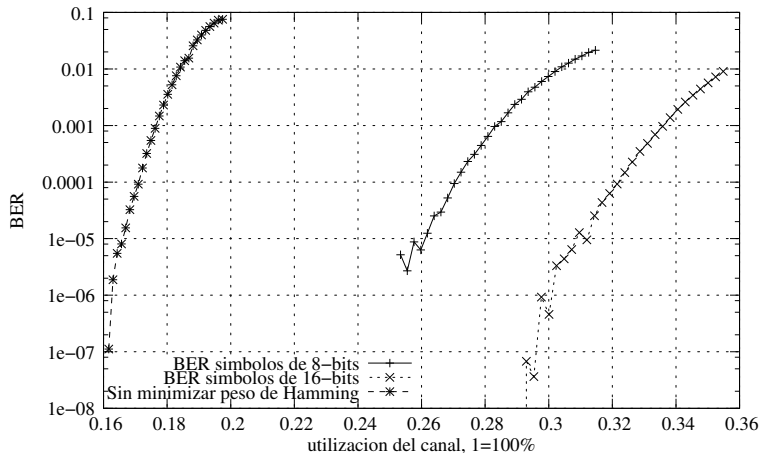
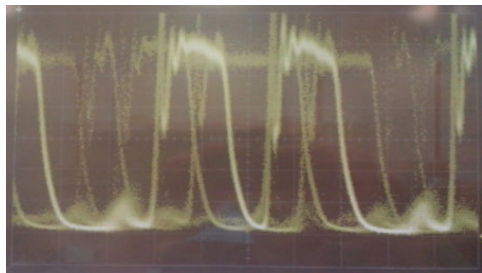
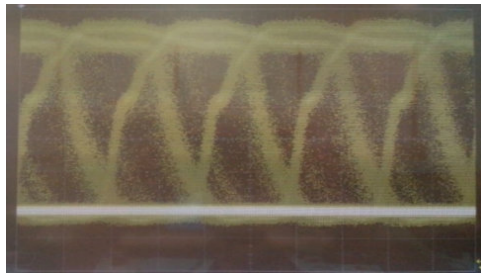


Figura : Performance del sistema con respecto a la expansión de símbolo. Simulación numérica de un enlace de 10 Gbps con 128 clientes,  $M=4096$  y  $K=9$ .

## Implementación: Efectos de señal desbalanceada



(a) Señal con 256 bits en uno por trama (8B/10B), 400 ps por bit



(b) Señal con 48 bits en uno por trama, 1100 ps por bit

**Figura :** Señal de potencia óptica de un Láser SPF+ Sumitomo de 1330 nm, tasa nominal es de 2.5 Gbps



# Medio acústico: Modulación

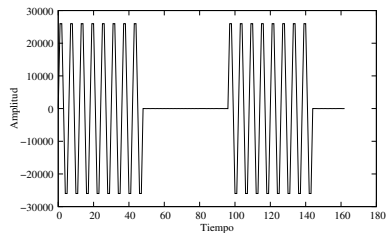


Figura : Modulación OOK

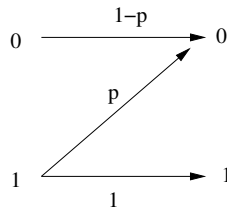
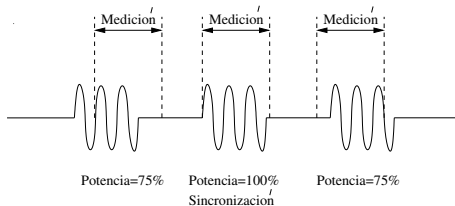


Figura : Diagrama de probabilidad:  
canal Z

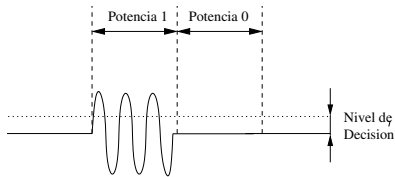
- Interferencia de OOK se aproxima a la de un canal Z.
- Baja densidad espectral ( $0,2 \text{ bits/s/Hz}$ )



## Medio acústico: Sincronización



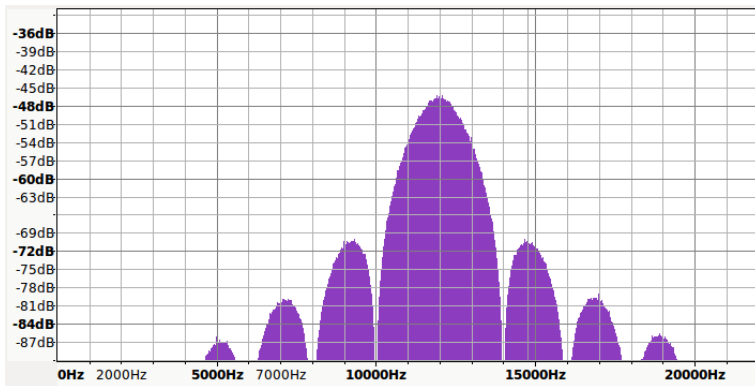
a) Sincronización de bit



b) Calculo de nivel de decision

## Sincronización de bit/nivel de decisión

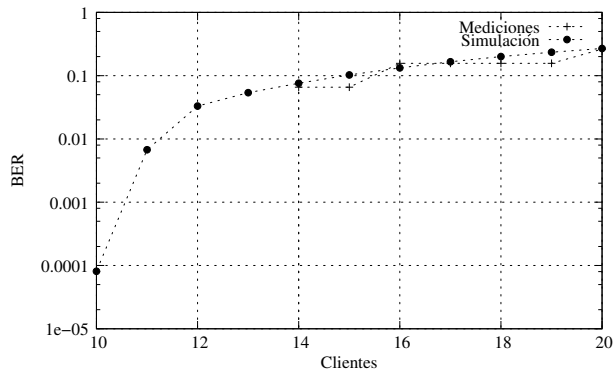
## Medio acústico: Características y espectro



Espectro de señal modulada

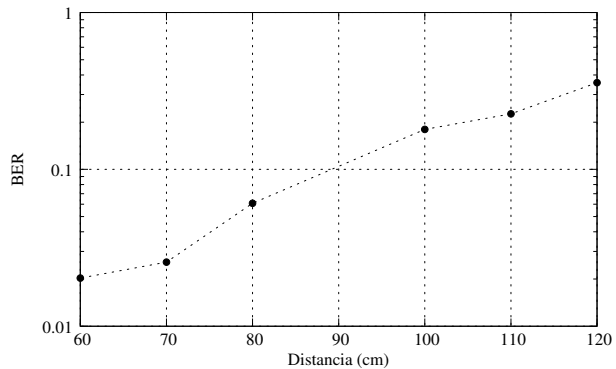
- ▶ Portadora a 12Khz, modem funcionando a 1Kbps en total
- ▶ Velocidades de 350 bps (2 usuarios) a 70 bps (10 usuarios)
- ▶ Dispositivos móviles: buen desempeño Parlante/Micrófono de 100 a 15Khz

## Medio acústico: Resultados (mediciones)



BER vs. Clientes

## Medio acústico: Resultados (mediciones)



BER vs. Distancia

## Conclusiones:

- ▶ Se propuse una arquitectura de red de tipo **time-hopping CDMA**:

## Conclusiones:

- ▶ Se propuse una arquitectura de red de tipo **time-hopping CDMA**:
  - ▶ Punto-a-Punto, y Punto-a-Multipunto.

## Conclusiones:

- ▶ Se propuse una arquitectura de red de tipo **time-hopping CDMA**:
  - ▶ Punto-a-Punto, y Punto-a-Multipunto.
  - ▶ **Red Privada** y criptográficamente segura.

## Conclusiones:

- ▶ Se propuse una arquitectura de red de tipo **time-hopping CDMA**:
  - ▶ Punto-a-Punto, y Punto-a-Multipunto.
  - ▶ **Red Privada** y criptográficamente segura.
  - ▶ Utilizando Filtros de **Bloom** y minimización de peso de **Hamming**.



## Conclusiones:

- ▶ Se propuse una arquitectura de red de tipo **time-hopping CDMA**:
  - ▶ Punto-a-Punto, y Punto-a-Multipunto.
  - ▶ **Red Privada** y criptográficamente segura.
  - ▶ Utilizando Filtros de **Bloom** y minimización de peso de **Hamming**.
  - ▶ **29 % de utilización del canal.**

## Contribuciones:

**Altas velocidades de transferencia en fibra óptica utilizando FPGAs de bajo costo.** A. A. Ortega, V. A. Bettachini, D.F. Grosz, J. I. Alvarez-Hamelin - *Congreso de Microelectrónica Aplicada 2010 BsAs*

**Point-to-point and Point-to-multipoint CDMA Access Network with Enhanced Security** A. A. Ortega, V. A. Bettachini, J. I. Alvarez-Hamelin, D.F. Grosz, *Advanced Photonics 2011 Congress - Access Networks and In-house Communications* Access Networks and In-house Communications, OSA Technical Digest, Optical Society of America

**Hamming-weight minimisation coding for CDMA optical access networks with enhanced security** A. A. Ortega, V. A. Bettachini, J. I. Alvarez-Hamelin, D.F. Grosz, *Future Generation Communication Technology (FGCT)*, 2012

## Contribuciones:

**Encrypted CDMA Audio Network.** *A. A. Ortega, V. A. Bettachini, P. I. Fierens, y J. I. Alvarez-Hamelin - Journal of Information Security - 2014*

**Patente: DISPOSITIVO Y MÉTODO PARA TRANSMISIÓN SEGURA DE DATOS SOBRE CANALES Z MEDIANTE CDMA (AR084155B1)***José Ignacio ALVAREZ HAMELIN, Victor Alexis BETTACHINI, and Alfredo ORTEGA. PCT, 12 2012. (Asignada)*

**Patente: Device and Method for the Secure Transmission of Data over Z-Channels Using CDMA (P11104EPPC)***José Ignacio ALVAREZ HAMELIN, Victor Alexis BETTACHINI, and Alfredo ORTEGA. EPO, Julio 2014. (En trámite)*



J. Daemen and V. Rijmen.

Aes proposal: Rijndael, 1998.



F. Mosso, J. Barrera, M. Tebaldi, N. Bolognini, and R. Torroba.

All-optical encrypted movie.

*Opt. Express*, 19(6):5706–5712, 2011.



N. Nadarajah, E. Wong, and a. Nirmalathas.

Implementation of multiple secure virtual private networks over passive optical networks using electronic CDMA.

*IEEE Photonics Technology Letters*, 18(3):484–486, Feb. 2006.

ISSN 1041-1135.

doi: 10.1109/LPT.2005.863637.

URL <http://ieeexplore.ieee.org/lpdocs/epic03/wrapper.htm?arnumber=1576846>.



A. A. Ortega, V. A. Bettachini, J. I. Alvarez-Hamelin, and D. F. Grosz.

Point-to-point and point-to-multipoint cdma access network with enhanced security.

*In Access Networks and In-house Communications, OSA Technical Digest (CD), paper ATuB6*, Toronto, Canada, June 2011.



T. Shake.

Security performance of optical cdma against eavesdropping.

*IEEE Journal of Lightwave Technology*, 23:655–670, Feb. 2005.



P. Torres, L. Valente, and M. Carvalho.

Security system for optical communication signals with fiber bragg gratings.

50:13–16, Jan. 2002.



Z. Wang, L. Xu, J. Chang, T. Wang, and P. R. Prucnal.

Secure optical transmission in a point-to-point link with encrypted cdma codes.

*IEEE Photonics Technology Letters*, 22(19):1410 –1412, oct. 2010.

ISSN 1041-1135.

doi: 10.1109/LPT.2010.2061223.